冷却材ボイド率履歴を考慮した BWR9×9 燃料集合体の核種組成の解析

Analyses of nuclide composition of BWR 9×9 fuel assemblies considering coolant void fraction histories

*坂本 雅洋 ¹,亀山 高範 ¹

□ 東海大学

統合化燃焼計算コードシステム SWAT4.0 を用いて BWR9×9 燃料集合体の核種組成を解析をした。ボイド率履歴・出力履歴などの計算条件を、SFCOMPO 2.0 から参照し、計算精度の向上を検証した。

キーワード: BWR9×9 燃料集合体, SFCOMPO 2.0, SWAT4.0, 冷却材ボイド率履歴

<u>1. 背景</u> 目的

2018 年 9 月で使用済燃料保管プールの貯蔵割合が 70%を超える発電所がある[1]。 貯蔵能力の拡大に向けて燃焼度クレジットの導入が望まれる。 本研究では、 BWR9×9 燃料集合体 (2F1ZN2:3 サイクル照射、2F1ZN3:5 サイクル照射)を対象とした照射後試験の測定結果と計算結果を比較する。 冷却材ボイド率履歴の取り扱いにより、計算精度の向上を図る。

2. 解析手法

核種組成の解析には統合化燃焼計算コードシステム SWAT4.0^[2]を使用した。中性子輸送計算に連続エネルギーモン テカルロ法コード MVP3.0^[3]、燃焼計算に ORIGEN2.2upj、核 データライブラリには JENDL4.0u1 版をそれぞれ使用した。 SFCOMPO $2.0^{[4]}$ の燃料組成、幾何形状のデータを基に、1/8 対

称の 2 次元集合体断面の計算モデルを作成した(図 1)。ウラン酸化物燃料(UOX 燃料)では径方向を等体積 8 領域、ガドリニア添加ウラン酸化物燃料((U.Gd)OX 燃料)では自己遮蔽を考慮し、径方向を等体積 12 領域とした。図 1 より 2F1ZN2 では C2、C3 位置の燃料棒の上部、下部から 2 つの測定サンプル、2F1ZN3 では C2、C3、A9 位置の燃料棒の上部、中央、下部から 3 つの測定サンプルが採取された。2F1ZN3 の C3 の測定サンプル位置での冷却材ボイド率履歴を図 2 に示す。各燃焼ステップの冷却材ボイド率履歴を考慮した計算と、全燃焼ステップのボイド率の履歴の平均値(一定)を用いた計算を行った。SFCOMPO 2.0 と文献[5]のデータを用いて比較、検証を行った。

3. 結果

2F1ZN3のC3の燃料棒上部の測定サンプルのボイド率履歴を考慮した場合と、ボイド率の平均値で行った場合の測定値(E)と計算値(C)の比較を図3に示す。局所燃焼度は 148 Ndがよく一致する燃焼ステップとし、 $^{0.4}$ %以内の差異となった。図3より、ボイド率履歴を考慮することで、 $^{C/E-1}$ は 235 U: $^{0.4}$ %、 236 U: $^{-0.5}$ %、 238 U: $^{-0.1}$ %、 240 Pu: $^{-2.7}$ %となり、差異は小さくなった。一方で、 238 Pu: $^{-2.7}$ %、 239 Pu: $^{-4.8}$ %となり、ボイド率履歴の平均の値と比べて、差異は広がった。他の測定サンプルでも、冷却材ボイド率分布を考慮することにより 235 Uの $^{-0.1}$ Uの $^{-0.1}$ C/Eが向上することを確認した。

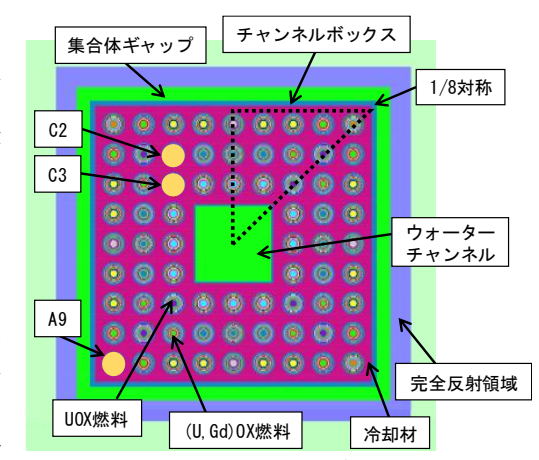
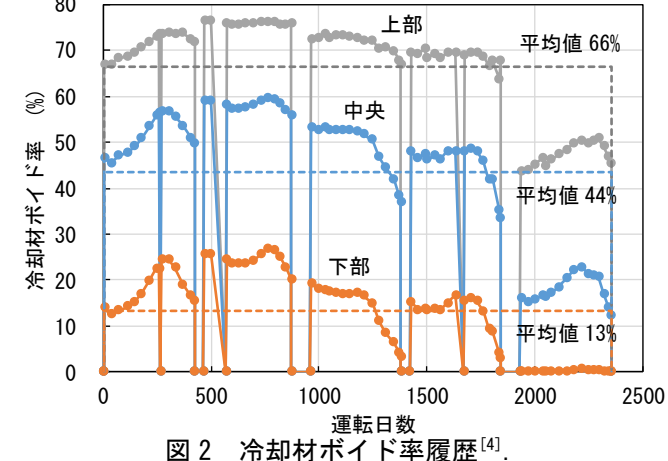


図1 計算モデル.



15 10 ■ボイド率履歴-考慮 ■ボイド率履歴-平均 5 8 ²³⁶U ²³⁵U ^{238}U ²³⁹Pu | ²⁴⁰Pu ²⁴¹Pu ²⁴²Pu ¹⁴⁸Nd 0 -5 -10 局所燃焼度(E):59.05(MWd/kgU) 局所燃焼度(C):58.54(MWd/kgU) -15

図 3 核種組成の測定値(E)と計算値(C)の比較. (2F1ZN3のC3サンプルの燃料棒上部)

参考文献

- [1] http://www.fepc.or.jp/resource_sw/chozo.pdf. [2] JAEA-Data/Code2014-028. [3] JAEA-Data/Code2016-019.
- [4] https://www.oecd-nea.org/sfcompo/. [5] JAEA-Research 2013-020.
- *SAKAMOTO Masahiro¹, *KAMEYAMA Takanori¹
- ¹Tokai Univ.